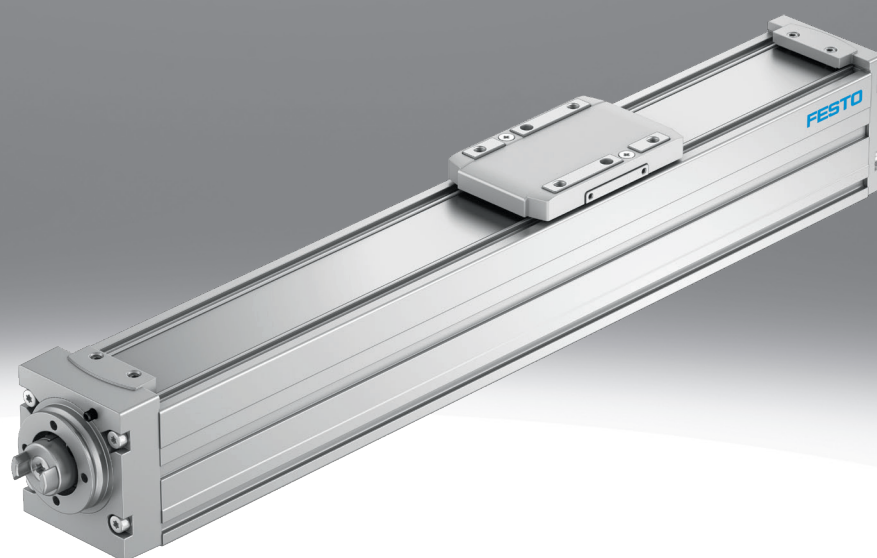


Eje de accionamiento por husillo ELGC-BS

FESTO



Características

Información resumida

Enlace [elgc-bs](#)

- Óptima relación entre espacio disponible y espacio operativo
- Protegido contra las influencias externas gracias a la guía interna
- El exclusivo sistema de montaje permite combinar sin adaptadores el eje de accionamiento por husillo ELGC y el minicarro EGSC
- Cojinete doble compacto integrado en el eje para ahorrar espacio
- Cinta de recubrimiento de acero inoxidable fijada permanentemente por una banda magnética
- Diversas opciones para el montaje para una óptima integración de la máquina
- Idoneidad para la producción de baterías de iones de litio

Conexión de aire de barrido

- El intercambio de aire entre el interior del cilindro y el entorno se realiza a través de la conexión de aire de barrido. De este modo, se evita la aparición de subpresión o sobrepresión en el interior del cilindro.
- La aplicación de una ligera depresión evita la emisión de partículas
- La aplicación de una ligera sobrepresión evita la inmisión de partículas

Segmentación del producto



Programa básico de Festo

Soluciona el 80 % de sus tareas de automatización

El programa básico de Festo es una preselección de las funciones y los productos más importantes. Forma parte de nuestra gama completa de productos.

En el programa básico encontrará la mejor relación calidad-precio para su automatización.

- En todo el mundo: rápidamente disponible, también a largo plazo
- La excelencia habitual: siempre con la calidad de Festo
- Búsqueda rápida: selección sencilla

Engineering Tools

Enlace [engineering tools](#)



Ahorre tiempo con las herramientas de ingeniería: Ingeniería inteligente para la solución óptima. Nuestro compromiso es aumentar su productividad. Para ello, una importante contribución son nuestras herramientas de ingeniería. Estas herramientas le permiten dimensionar correctamente su sistema, aprovechar reservas inéditas de productividad o incrementar la producción a lo largo de toda la cadena de valor. Desde el primer contacto hasta la modernización de su máquina: en cada fase de su proyecto descubrirá numerosas herramientas que le serán de gran ayuda.

Electric Motion Sizing

- Conseguir de forma rápida y fiable el conjunto de accionamiento óptimo: Electric Motion Sizing calcula las combinaciones adecuadas de eje eléctrico, motor eléctrico y regulador de servoaccionamiento a partir de unos pocos datos de la aplicación. Recibirá todos los datos relevantes de la combinación seleccionada, incluida la lista de piezas y la documentación. Así se evitan los diseños incorrectos y se consigue mejorar considerablemente la eficiencia energética del sistema. La coherencia hasta Festo Automation Suite también le facilita la puesta en funcionamiento.

Diagramas

Enlace [elgc-bs](#)



Los diagramas mostrados en este documento también están disponibles en línea. Allí es posible mostrar valores precisos.

Tipo de actuador

[BS] Husillo de bolas

- Para aplicaciones en las que la precisión es vital
- Alta fiabilidad y larga vida útil
- Para grandes cargas

Características

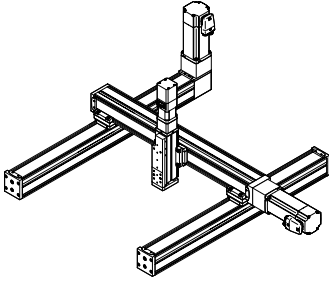
Guía

- Principio de guía muy robusto y preciso para transmitir la fuerza motriz y mover masas adicionales
- Los momentos y fuerzas elevados pueden ser absorbidos muy bien por la guía

Paso de husillo

La inclinación del husillo describe en milímetros la distancia recorrida por la tuerca del husillo con cada vuelta del mismo.

Sumario



- Del eje único al sistema de manipulación, por ejemplo, sistema de brazo en voladizo, pórtico horizontal de dos ejes o pórtico con tres ejes
- Los ejes de accionamiento por correa dentada, los ejes de accionamiento por husillo ELGC y los minicarros EGSC constituyen un sistema modular escalable para una automatización compacta
- La arquitectura de plataforma común crea un programa coherente con interfaces coordinadas. Es posible realizar un gran número de sistemas por completo sin placas adaptadoras
- Los elementos de accionamiento y guía de alto rendimiento garantizan una larga vida útil, resistencia y fiabilidad
- El programa uniforme y universal de accesorios reduce el mantenimiento de las existencias y el esfuerzo de diseño

Códigos del producto

| 001 | Serie |
|------|----------------|
| ELGC | Eje de pórtico |

| 002 | Tipo de actuador |
|-----|------------------|
| BS | Husillo de bolas |

| 003 | Guía |
|-----|-----------------------------|
| KF | Guía de rodamiento de bolas |

| 004 | Tamaños |
|-----|---------|
| 32 | 32 |
| 45 | 45 |
| 60 | 60 |
| 80 | 80 |

| 005 | Carrera [mm] |
|------|--------------|
| 100 | 100 |
| 200 | 200 |
| 300 | 300 |
| 400 | 400 |
| 500 | 500 |
| 600 | 600 |
| 800 | 800 |
| 1000 | 1000 |

| 006 | Paso de husillo |
|-----|-----------------|
| 8P | 8 mm |
| 10P | 10 mm |
| 12P | 12 mm |
| 16P | 16 mm |

Hoja de datos

Especificaciones técnicas generales

| Tamaño | 32 | 45 | 60 | 80 |
|--|--|-------------|-------------|--|
| Forma constructiva | Eje lineal electromecánico, Con husillo de rodamiento de bolas | | | |
| Guía | Guía de rodamiento de bolas | | | |
| Posición de montaje | Cualquiera | | | |
| Carrera de trabajo | 100 mm; 200 mm; 300 mm; 400 mm; 500 mm; 600 mm; 800 mm | | | 100 mm; 200 mm; 300 mm; 400 mm; 500 mm; 600 mm; 800 mm; 1.000 mm |
| Fuerza de avance máx. Fx | 40 N | 100 N | 200 N | 350 N |
| Momento de giro en funcionamiento sin carga, con mínima velocidad del movimiento | 0,02 Nm | 0,032 Nm | 0,042 Nm | 0,095 Nm |
| Momento de giro en funcionamiento sin carga, con máxima velocidad del movimiento | 0,04 Nm | 0,12 Nm | 0,246 Nm | 0,396 Nm |
| Fuerza radial máxima en el vástago de accionamiento | 75 N | 180 N | 230 N | 500 N |
| Velocidad máxima ¹⁾ | 0,6 m/s | | 0,8 m/s | 1 m/s |
| Revoluciones máx. ²⁾ | 4.500 1/min | 3.600 1/min | 4.000 1/min | 3.750 1/min |
| Aceleración máx. | 15 m/s ² | | | |
| Precisión de repetición | ±0,015 mm | | ±0,01 mm | |
| Juego de inversión | 0,15 mm | | | |
| Detección de posición | Para sensor de proximidad, Para sensores inductivos | | | |

1) La velocidad dependen de la carrera

2) Las revoluciones dependen de la carrera

Condiciones de funcionamiento y del entorno

| | | | | |
|------------------------------------|---------------------------|--|--|--|
| Temperatura ambiente ¹⁾ | 0 ... 50°C | | | |
| Grado de protección | IP40 | | | |
| Tiempo de conexión | 100% | | | |
| Clase de sala limpia | Clase 7 según ISO 14644-1 | | | |
| Intervalo de mantenimiento | Lubricación de por vida | | | |

1) Debe tenerse en cuenta el ámbito de aplicación de los sensores de proximidad

Pesos

| Tamaño | 32 | 45 | 60 | 80 |
|---|--------|-------|---------|---------|
| Peso básico con carrera de 0 mm ¹⁾ | 296 g | 724 g | 1.682 g | 2.942 g |
| Peso adicional por 10 mm de carrera | 18 g | 36 g | 51 g | 88 g |
| Masa móvil | 83,4 g | 220 g | 525 g | 978 g |

1) Incl. carro

Husillo

| Tamaño | 32 | 45 | 60 | 80 |
|----------------------|----------|-----------|-----------|-----------|
| Diámetro del husillo | 8 mm | 10 mm | 12 mm | 16 mm |
| Paso de husillo | 8 mm/rev | 10 mm/rev | 12 mm/rev | 16 mm/rev |

Hoja de datos

Momento de inercia de la masa

$$J_A = J_O + J_H \cdot l + J_L \cdot m$$

El momento de inercia de la masa J del eje de accionamiento por husillo se calcula de la siguiente manera.

l = carrera de trabajo

m = carga útil en movimiento

| Tamaño | 32 | 45 | 60 | 80 |
|--|----------------------------|---------------------------|----------------------------|----------------------------|
| Momento de inercia de la masa J_O | 0,00274 kgcm ² | 0,0082 kgcm ² | 0,02235 kgcm ² | 0,07856 kgcm ² |
| Momento de inercia de la masa J_H por metro de carrera | 0,02218 kgcm ² | 0,05056 kgcm ² | 0,10779 kgcm ² | 0,35257 kgcm ² |
| Momento de inercia de la masa J_L por kg de carga útil | 0,016211 kgcm ² | 0,02533 kgcm ² | 0,036476 kgcm ² | 0,064846 kgcm ² |

Referenciación

La referenciación puede hacerse de dos maneras:

- contra el tope fijo
- mediante interruptor de referencia

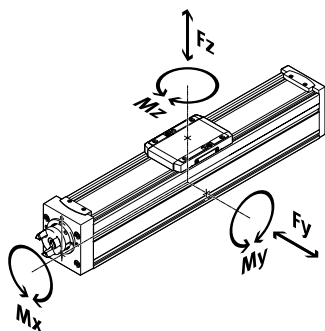
Deben respetarse los siguientes valores:

| Tamaño | 32 | 45 | 60 | 80 |
|--|---|--------|------|------|
| Energía de impacto en las posiciones finales | 0,25 mJ | 0,5 mJ | 1 mJ | 2 mJ |
| Nota sobre la energía de impacto en las posiciones finales | A la velocidad máxima del recorrido de referencia de 0,01 m/s | | | |

Materiales

| | |
|--|---|
| Material de la tapa del accionamiento | Fundición inyectada de aluminio, pintada |
| Material de la tuerca del husillo | Acero |
| Material del carro | Fundición inyectada de aluminio |
| Material de la guía del carro | Acero |
| Material del husillo | Acero |
| Material de la cinta de recubrimiento | Acero inoxidable de alta aleación |
| Material del perfil | Aleación forjada de aluminio anodizado |
| Material de la culata posterior | Fundición inyectada de aluminio, pintada |
| Nota sobre el material | Conformidad con la Directiva RoHS |
| Idoneidad para la producción de baterías de iones de litio | No pueden utilizarse metales con un contenido de cobre, zinc o níquel superior al 1 %. Excepción: el níquel en aceros, superficies niqueladas químicamente, placas de circuito impreso, cables, conectores eléctricos y bobinas |

Fuerzas y momentos admisibles



Las fuerzas y momentos especificados se refieren al centro de la guía. El punto de aplicación es la intersección del centro de la guía y el centro de la longitud del carro. No deben superarse en funcionamiento dinámico. Hay que prestar especial atención al proceso de frenado.

Hoja de datos

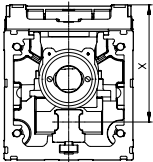
Fuerzas y momentos admisibles del eje completo (límites de resistencia)

| Tamaño | 32 | 45 | 60 | 80 |
|-----------------------------|--------|--------|---------|---------|
| Fuerza Fy máxima eje total | 150 N | 300 N | 600 N | 900 N |
| Fuerza Fz máxima eje total | 300 N | 600 N | 1.800 N | 2.700 N |
| Momento máximo Mx eje total | 1,3 Nm | 5,5 Nm | 29,1 Nm | 59,8 Nm |
| Momento máximo My eje total | 1,1 Nm | 4,7 Nm | 31,8 Nm | 56,2 Nm |
| Momento máximo Mz eje total | 1,1 Nm | 4,7 Nm | 31,8 Nm | 56,2 Nm |

Momentos y fuerzas máximos admisibles para el cálculo de la guía con vida útil de referencia

| Tamaño | 32 | 45 | 60 | 80 |
|-------------------------|----------|--------|---------|---------|
| Vida útil de referencia | 5.000 km | | | |
| Fuerza máx. Fy | 356 N | 880 N | 3.641 N | 5.543 N |
| Fuerza Fz máxima | 356 N | 880 N | 3.641 N | 5.543 N |
| Momento Mx máximo | 1,3 Nm | 5,5 Nm | 29,1 Nm | 59,8 Nm |
| Momento My máx. | 1,1 Nm | 4,7 Nm | 31,8 Nm | 56,2 Nm |
| Momento máximo Mz | 1,1 Nm | 4,7 Nm | 31,8 Nm | 56,2 Nm |

Distancia x entre la superficie del carro y el centro de la guía



Distancia x:

Tamaño: 32 / 45 / 60 / 80

Dimensión x: 31,4 mm / 42,8 mm / 54,6 mm / 72,5 mm

Cálculo del factor de comparación de carga

$$f_v = \frac{|F_{y1}|}{F_{y2}} + \frac{|F_{z1}|}{F_{z2}} + \frac{|M_{x1}|}{M_{x2}} + \frac{|M_{y1}|}{M_{y2}} + \frac{|M_{z1}|}{M_{z2}} \leq 1$$

Si varias de las fuerzas y momentos mencionados actúan al mismo tiempo sobre el eje, deberá cumplirse la ecuación de la izquierda además de las cargas máximas enumeradas.

Para una vida útil del sistema de guía de 5000 km, el factor de comparación de carga, basado en las fuerzas y los momentos máximos admisibles con una vida útil de 5000 km, debe asumir un valor de $f_v < 1$. Con esta fórmula se puede calcular un valor orientativo. El software de ingeniería "Electric Motion Sizing" está disponible para realizar cálculos precisos.

F1 / M1 = valor dinámico

F2 / M2 = valor máximo

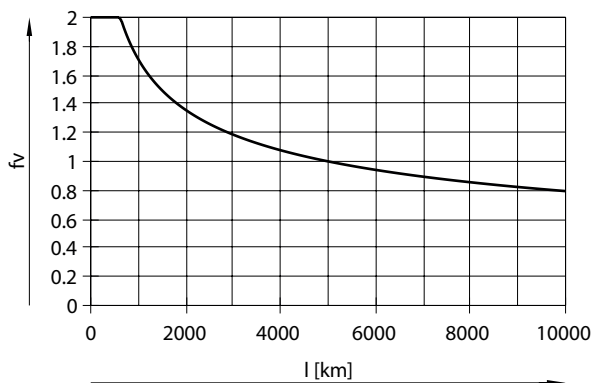
Cálculo de la vida útil de la guía

La vida útil de la guía depende de la carga. Para poder hacer una declaración sobre la vida útil, en el siguiente diagrama se muestra el factor de comparación de carga f_v como característica en relación con la vida útil.

Esta representación solo refleja el valor teórico. Si el factor de comparación de carga f_v es superior a 1, es imprescindible consultar a su persona de contacto local de Festo.

Hoja de datos

Vida útil de la guía



La vida útil de la guía depende de la carga. Para poder hacer una declaración sobre la vida útil, en el siguiente diagrama se muestra el factor de comparación de carga f_v como característica en relación con la vida útil.

Esta representación solo refleja el valor teórico. Si el factor de comparación de carga f_v es superior a 1, es imprescindible consultar a su interlocutor local de Festo.

Ejemplo:

un usuario quiere mover una masa de X kg. El cálculo da como resultado un valor de 1,5 para el factor de comparación de cargas f_v . Según el diagrama, la guía tiene una vida útil de aproximadamente 1500 km. Al reducir la aceleración, se reduce el valor de M_z y M_y . Ahora, con un factor de comparación de carga f_v de 1, esto da como resultado una vida útil de 5000 km.

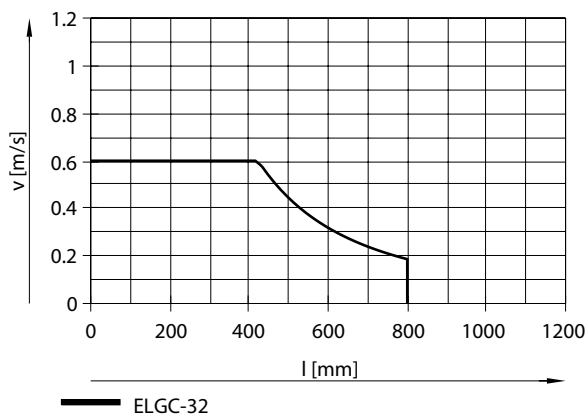
Fuerzas y momentos admisibles con una vida útil teórica de 100 km (carga de guía pura)

Los valores característicos de carga de las guías de rodamientos están normalizados según ISO y JIS por fuerzas y momentos dinámicos y estáticos. Estas fuerzas y momentos se basan en una vida útil esperada del sistema de guía de 100 km según ISO o de 50 km según JIS. Debido a la dependencia de los valores característicos de carga con respecto a la vida útil, las fuerzas y momentos máximos admisibles con una vida útil de 5000 km no pueden compararse con las fuerzas y momentos dinámicos de las guías de rodamientos según ISO/JIS.

Para facilitar la comparación de la capacidad de guiado de los ejes lineales ELGC con las guías de rodamientos, la siguiente tabla enumera las fuerzas y los momentos teóricamente admisibles para una vida útil calculada de 100 km. Esto corresponde a las fuerzas y momentos dinámicos según ISO. Estos valores de 100 km se determinan puramente mediante cálculo y se utilizan únicamente para la comparación con las fuerzas y los momentos dinámicos según ISO. La carga de los accionamientos con estos valores característicos está excluida y puede causar daños en los ejes.

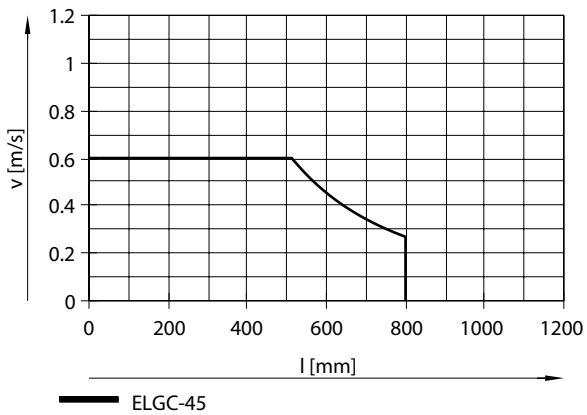
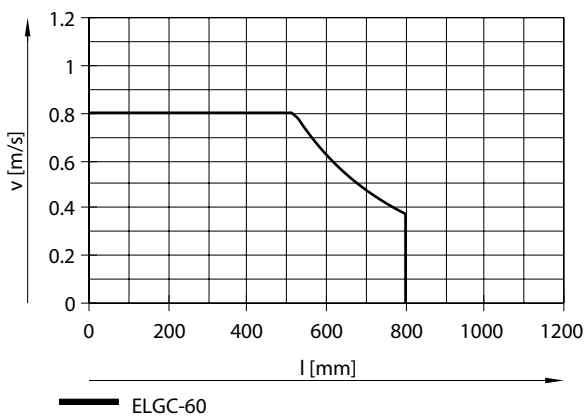
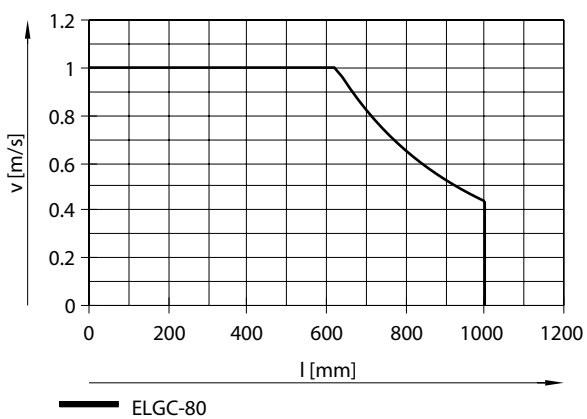
| Tamaño | 32 | 45 | 60 | 80 |
|---|---------|---------|----------|----------|
| Fy con duración teórica de 100 km (únicamente se considera la guía) | 1.310 N | 3.240 N | 13.400 N | 20.400 N |
| Fz con duración teórica de 100 km (únicamente se considera la guía) | 1.310 N | 3.240 N | 13.400 N | 20.400 N |
| Mx con duración teórica de 100 km (únicamente se considera la guía) | 5 Nm | 20 Nm | 107 Nm | 220 Nm |
| My con duración teórica de 100 km (únicamente se considera la guía) | 4 Nm | 17 Nm | 117 Nm | 207 Nm |
| Mz con duración teórica de 100 km (únicamente se considera la guía) | 4 Nm | 17 Nm | 117 Nm | 207 Nm |

Velocidad v en función de la carrera de trabajo l para el tamaño 32



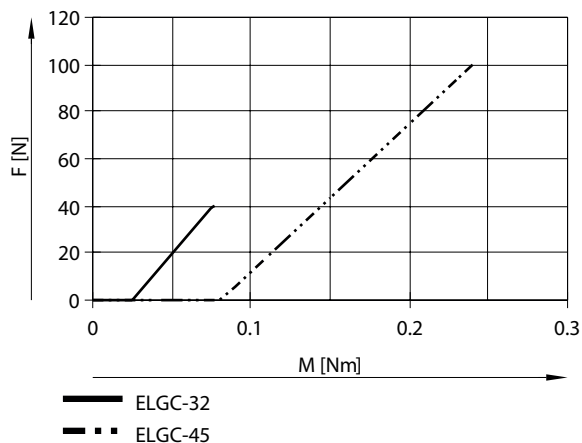
— ELGC-32

Hoja de datos

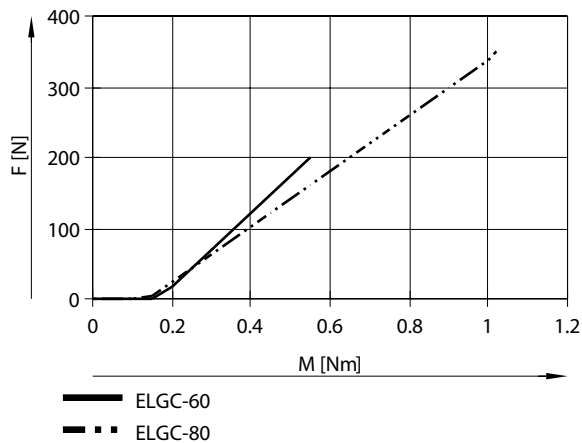
Velocidad v en función de la carrera de trabajo l para el tamaño 45Velocidad v en función de la carrera de trabajo l para el tamaño 60Velocidad v en función de la carrera de trabajo l para el tamaño 80

Hoja de datos

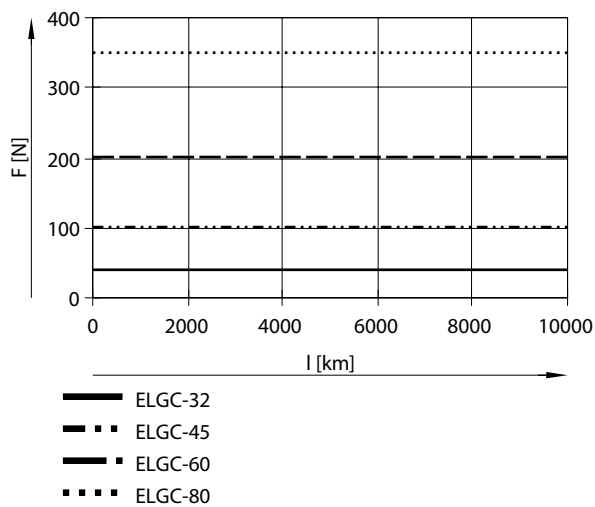
Fuerza de avance teórica F en función del par de entrada M para tamaño 32/45



Fuerza de avance teórica F en función del par de entrada M para tamaño 60/80

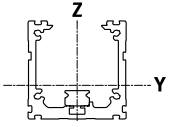


Fuerza de avance F en función de la vida útil l



Hoja de datos

Momento de superficie de segundo grado



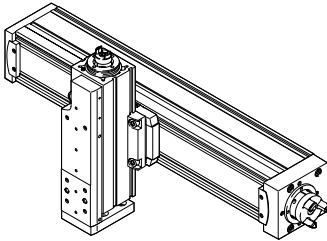
| Tamaño | 32 | 45 | 60 | 80 |
|---------------------------------------|------------------------|-------------------------|-------------------------|---------------------------|
| Momento de superficie de 2.º grado ly | 38.000 mm ⁴ | 140.000 mm ⁴ | 441.000 mm ⁴ | 1.370.000 mm ⁴ |
| Momento de superficie de 2.º grado lz | 45.000 mm ⁴ | 170.000 mm ⁴ | 542.000 mm ⁴ | 1.660.000 mm ⁴ |

Valores límite de deformación recomendados

Para no perjudicar la funcionalidad de los ejes, se recomienda respetar los siguientes valores límite de deformación. Unas deformaciones mayores pueden provocar un aumento de la fricción, un mayor desgaste y reducir la vida útil.

| | |
|--|--|
| Flexión dinámica (carga en movimiento) | 0,05 % de la longitud del eje, máximo 0,5 mm |
| Flexión estática (carga detenida) | 0,1% de la longitud del eje |

Combinaciones entre eje ELGC, ELGS, minicarro EGSC-BS, EGSS-BS, cilindro eléctrico EPCC, EPCS y eje de guía pasiva ELFC

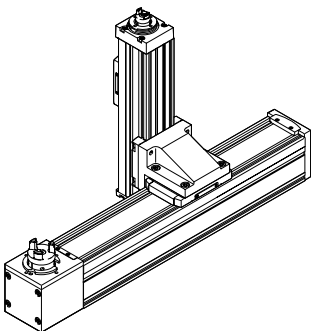


Opciones de montaje con fijación de perfil EAHF-L2-...-P-D

- Opción de montaje: eje base con el siguiente eje de carrocería más pequeño

1. Eje de base:
Producto: ELGC, ELGS, ELFC
Tamaños 32, 45, 60, 80
2. Eje de carrocería:
Producto: ELGC, ELGS, EGSC, EGSS, EPCC, EPCS, ELFC
Tamaños 25, 32, 45, 60

Combinaciones entre eje ELGC, ELGS, minicarro EGSC-BS, EGSS-BS, cilindro eléctrico EPCC, EPCS y eje de guía pasiva ELFC



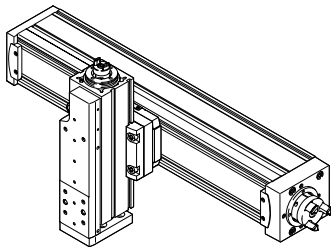
Opciones de montaje con conjunto de sujeción angular EHAA-D-L2-...-AP

- Opción de montaje: eje base con el siguiente eje de carrocería más pequeño

1. Eje de base:
Producto: ELGC, ELGS, ELFC
Tamaños 32, 45, 60, 80
2. Eje de carrocería:
Producto: ELGC, ELGS, EGSC, EGSS, EPCC, EPCS, ELFC
Tamaños 25, 32, 45, 60

Hoja de datos

Combinaciones entre eje ELGC, ELGS, minicarro EGSC-BS, EGSS-BS, cilindro eléctrico EPCC, EPCS y eje de guía pasiva ELFC



Opciones de montaje con el kit adaptador EHAA-D-L2

- Opción de montaje: eje de base con eje de carrocería del mismo tamaño
- Opción de montaje: eje de base con compensación de altura al eje de carrocería inmediatamente inferior
- Durante el montaje del motor con conjuntos paralelos, pueden producirse interferencias en los contornos. En este caso, la placa adaptadora es necesaria para compensar la altura

1. Eje de base:

Producto: ELGC, ELGS, ELFC

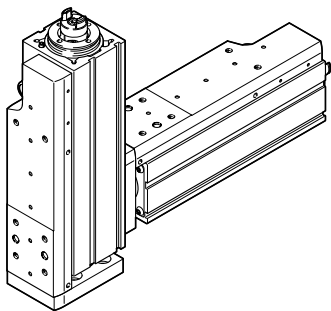
Tamaños 32, 45, 60, 80

2. Eje de carrocería:

Producto: ELGC, ELGS, EGSC, EGSS, EPCC, EPCS, ELFC

Tamaños 25, 32, 45, 60, 80

Combinaciones entre minicarros EGSC-BS, EGSS-BS



Opciones de montaje con fijación directa

- Opción de montaje: eje de base con eje de carrocería del mismo tamaño

1. Eje de base:

Producto: EGSC, EGSS

Tamaños 25, 32, 45, 60

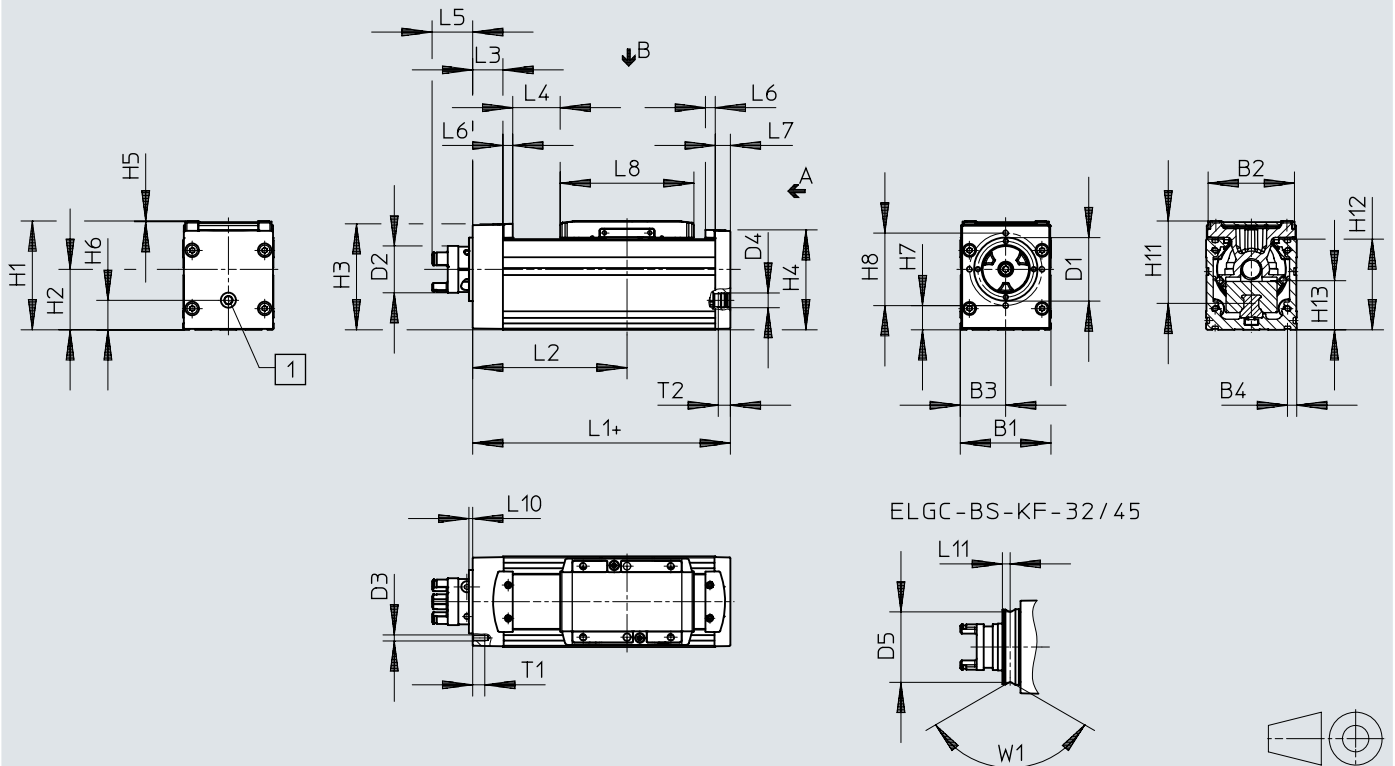
2. Eje de carrocería:

Producto: EGSC, EGSS

Tamaños 25, 32, 45, 60

Dimensiones

Dimensiones – Ejes de accionamiento por husillo ELGC-BS-KF

Descargar datos CAD www.festo.com

[1] Conexión de aire de barrido (D4)

[2] += más longitud de carrera

[3] L4 = posición final carrera cero

| | B1 | B2 | B3 | B4 | D1 ø | D2 ¹⁾ ø | D3 | D4 | D5 ø | H1 | H2 |
|---------------|----|------|------|-----|---------|-----------------------|----|------|---------|------|------|
| ELGC-BS-KF-32 | 32 | 29,6 | 16 | 4,9 | 25 | 15,5 | – | M5 | 23 | 38,5 | 20 |
| ELGC-BS-KF-45 | 45 | 42,6 | 22,5 | 6,1 | 32 | 16,3 | – | G1/8 | 29,6 | 54 | 27,9 |
| ELGC-BS-KF-60 | 60 | 57,1 | 30 | 6,1 | 42 | 31,4 | M4 | G1/8 | – | 72 | 40 |
| ELGC-BS-KF-80 | 80 | 77,1 | 40 | 6,1 | 46 | 31,4 | M6 | G1/8 | – | 96 | 50 |

| | H3 | H4 | H5 | H6 | H7 | H8 | H11 | H12 | H13 | L1 | L2 min. |
|---------------|------|------|-----|------|------|----|------|-----|------|-------|------------|
| ELGC-BS-KF-32 | 36,3 | 35,6 | 0,3 | 8 | – | – | 31,4 | 32 | 13,7 | 104,5 | 57,9 |
| ELGC-BS-KF-45 | 50,8 | 49,6 | 0,5 | 12,5 | – | – | 42,8 | 45 | 18,5 | 134,3 | 79,7 |
| ELGC-BS-KF-60 | 70,1 | 66,1 | 0,5 | 19,5 | 16 | 48 | 54,6 | 60 | 32,5 | 170,5 | 102,1 |
| ELGC-BS-KF-80 | 90,6 | 88,1 | 0,5 | 20 | 17,5 | 65 | 72,5 | 80 | 41,5 | 198,5 | 119,6 |

| | L3 | L4 | L5 | L6 | L7 | L8 | L10 | L11 | T1 | T2 | W1 |
|---------------|------|------|------|-----|----|------|-----|-----|----|-----|------|
| ELGC-BS-KF-32 | 10,5 | 13,4 | 19,9 | 4,5 | 5 | 59 | 6 | 2,6 | – | 5,5 | 120° |
| ELGC-BS-KF-45 | 14,8 | 24,6 | 19,9 | 6,5 | 7 | 67,5 | 6 | 2,9 | – | 8 | 90° |
| ELGC-BS-KF-60 | 20 | 31,4 | 26,9 | 6,5 | 10 | 88,5 | 2,5 | – | 8 | 8 | – |
| ELGC-BS-KF-80 | 21 | 39,1 | 25,9 | 6,5 | 12 | 106 | 2,5 | – | 15 | 8 | – |

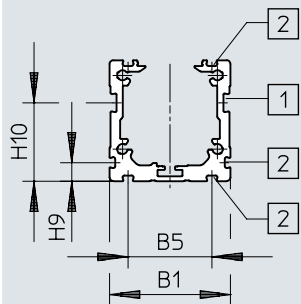
1) Diámetro del acoplamiento o diámetro del círculo interferencia del tornillo prisionero

Dimensiones

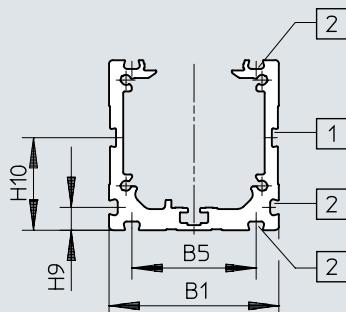
Dimensiones – Ejes de accionamiento por husillo ELGC-BS-KF (perfil)

Descargar datos CAD www.festo.com

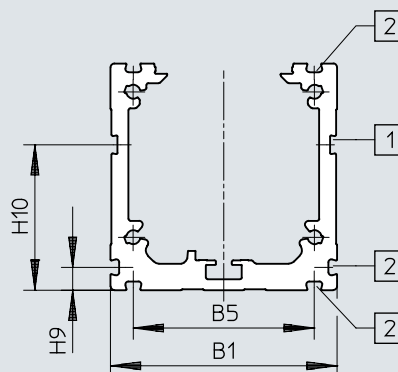
ELGC-BS-KF-32



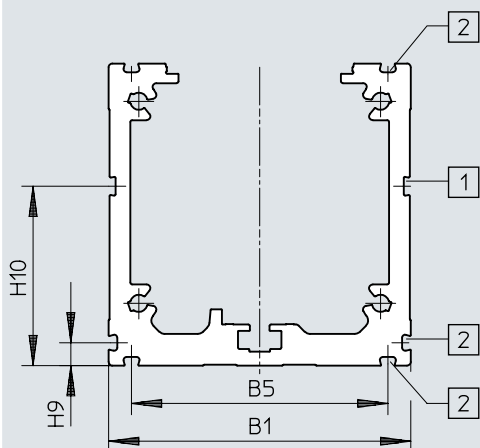
ELGC-BS-KF-45



ELGC-BS-KF-60



ELGC-BS-KF-80

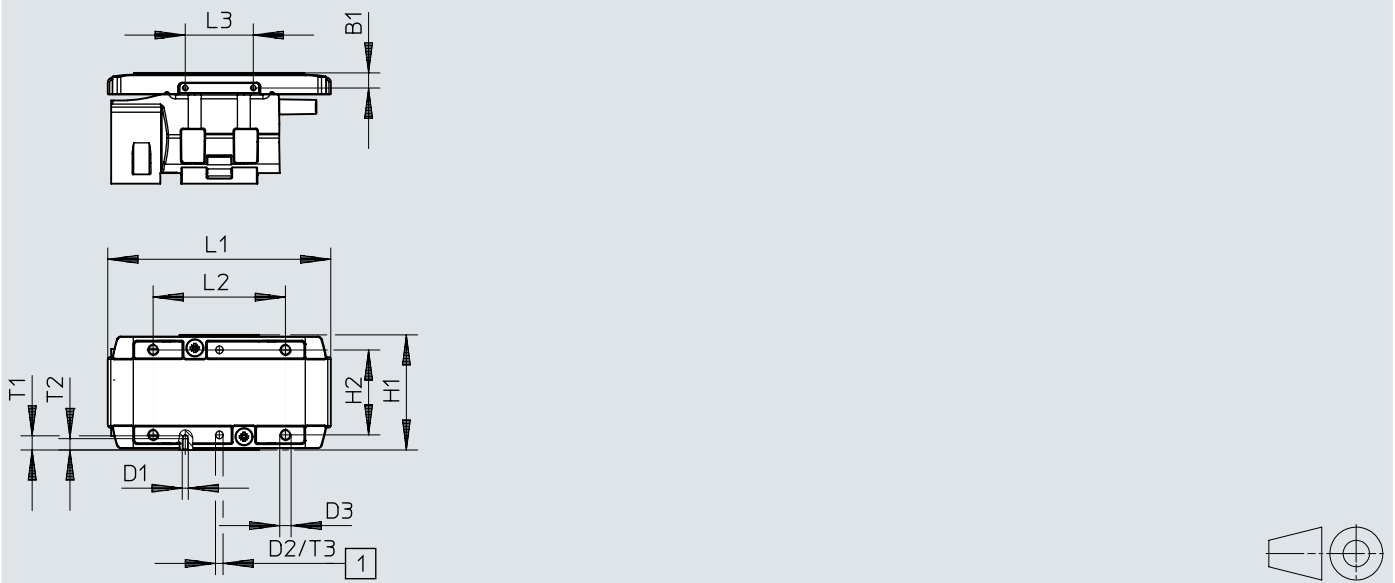


- [1] = ranura de soporte para sensor
- [2] = ranura de fijación

| | B1 | B5 | H9 | H10 |
|---------------|----|------|-----|------|
| ELGC-BS-KF-32 | 32 | 22,2 | 4,9 | 20,8 |
| ELGC-BS-KF-45 | 45 | 32,9 | 6,1 | 24,5 |
| ELGC-BS-KF-60 | 60 | 47,9 | 6,1 | 38,5 |
| ELGC-BS-KF-80 | 80 | 67,9 | 6,1 | 47,5 |

Dimensiones

Dimensiones – Ejes de accionamiento por husillo ELGC-BS-KF, tamaño 32 (carro)

Descargar datos CAD www.festo.com

[1] Agujero para el pasador de centrado ZBS

| | B1 | D1 | D2 ∅ H8 | D3 | H1 | H2 ±0,1 |
|---------------|-----------|------|---------------|----|--------------|------------|
| ELGC-BS-KF-32 | 4 ±0,1 | M1,6 | 2 | M3 | 30,5 ±0,1 | 22,5 |

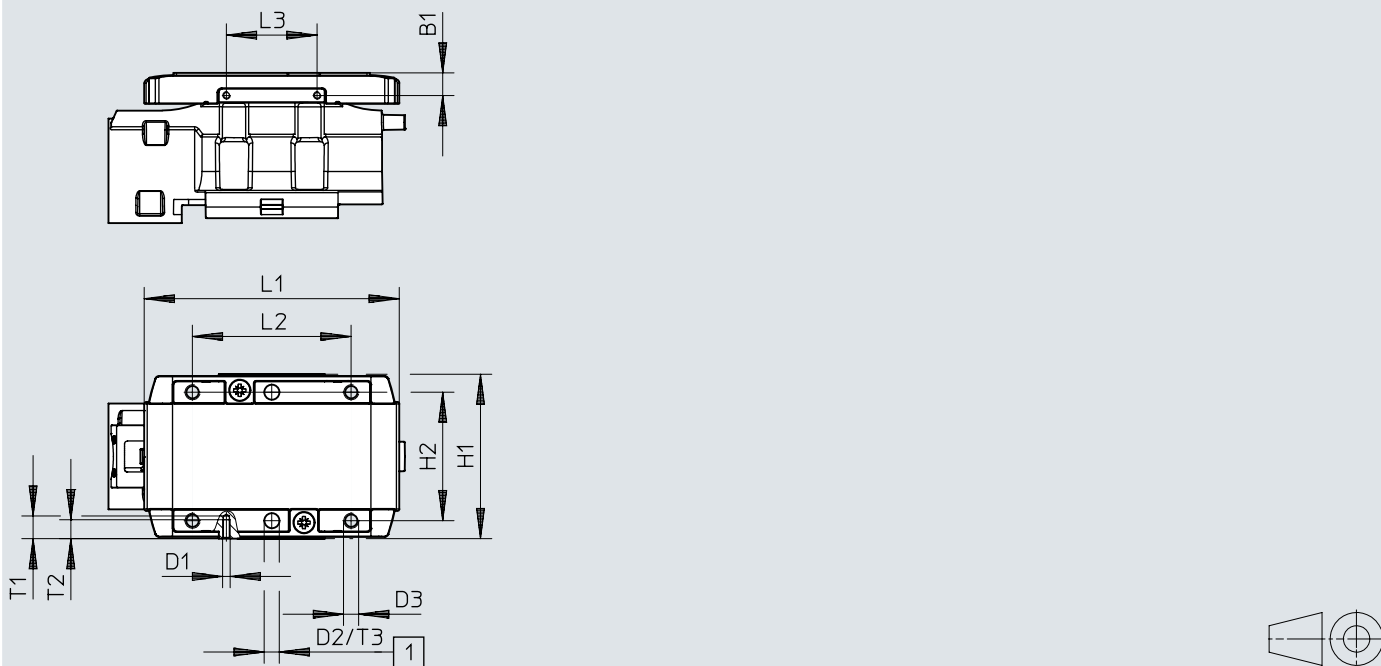
| | L1 | L2 | L3 | T1 | T2 | T3 | T4 ¹⁾ |
|---------------|----|------------|------------|-----|----|-------------|------------------|
| ELGC-BS-KF-32 | 59 | 35 ±0,1 | 18 ±0,1 | 3,8 | 3 | 3,1 +0,1 | 4 ... 5 |

1) Profundidad de atornillado recomendada

Dimensiones

Dimensiones – Ejes de accionamiento por husillo ELGC-BS-KF, tamaño 45 (carro)

Descargar datos CAD www.festo.com



[1] Agujero para el pasador de centrado ZBS

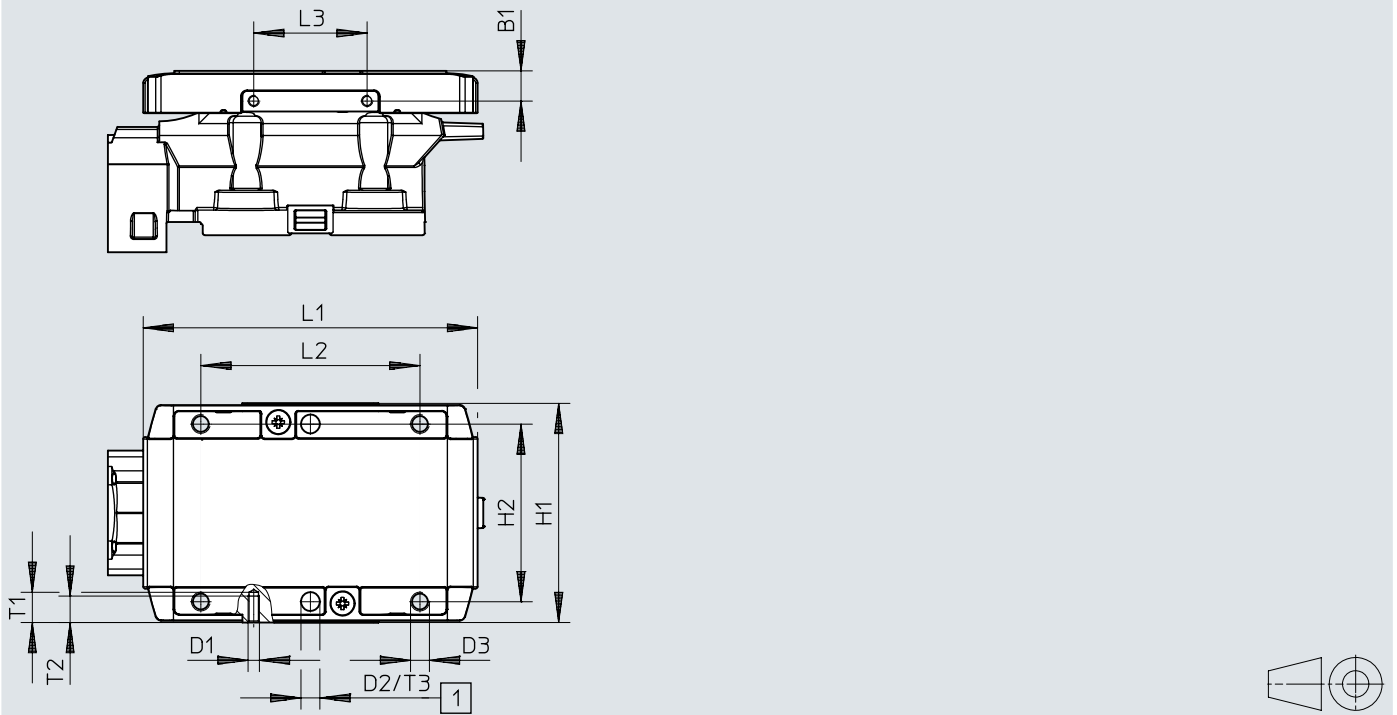
| | B1 | D1 | D2 ∅ H8 | D3 | H1 | H2 ±0,1 |
|---------------|-----------|----|---------------|----|--------------|------------|
| ELGC-BS-KF-45 | ±0,1 6 | M2 | 4 | M4 | ±0,1 43,5 | 34 |

| | L1 | L2 ±0,1 | L3 ±0,1 | T1 | T2 | T3 +0,1 | T4 ¹⁾ |
|---------------|------|------------|------------|----|----|------------|------------------|
| ELGC-BS-KF-45 | 67,5 | 42 | 24 | 6 | 5 | 3,1 | 6 ... 7,5 |

1) Profundidad de atornillado recomendada

Dimensiones

Dimensiones – Ejes de accionamiento por husillo ELGC-BS-KF, tamaño 60 (carro)

Descargar datos CAD www.festo.com

[1] Taladro para el casquillo para centrar ZBH

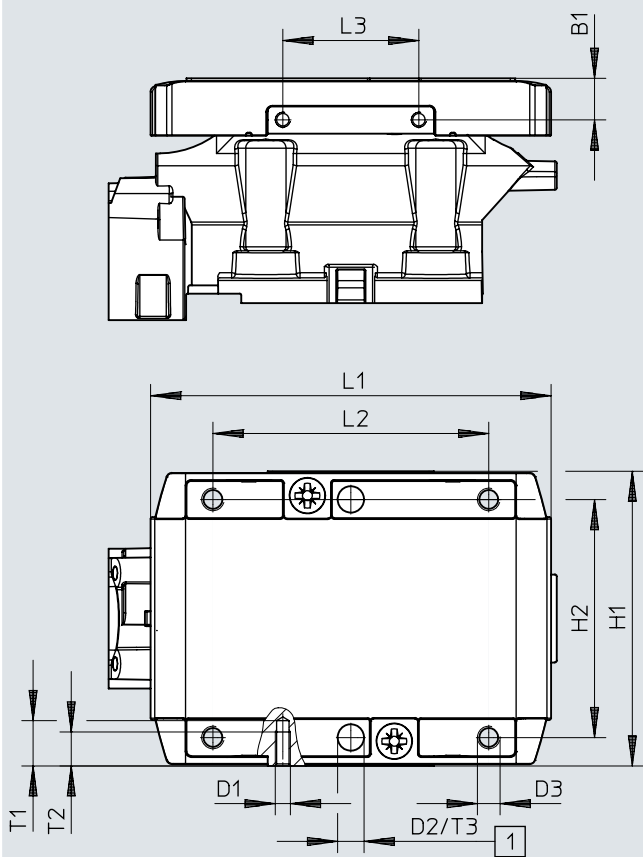
| | B1 | D1 | D2 ∅ H8 | D3 | H1 | H2 | |
|---------------|-----------|------------|---------------|----|------------|-------------|------------------|
| ELGC-BS-KF-60 | ±0,1 8 | M3 | 5 | M5 | ±0,1 58 | ±0,1 47 | |
| | L1 | L2 | L3 | T1 | T2 | T3 | T4 ¹⁾ |
| ELGC-BS-KF-60 | 88,5 | ±0,1 58 | ±0,1 30 | 9 | 7 | +0,1 1,3 | 8,5 ... 10 |

1) Profundidad de atornillado recomendada

Dimensiones

Dimensiones – Ejes de accionamiento por husillo ELGC-BS-KF, tamaño 80 (carro)

Descargar datos CAD www.festo.com



[1] Taladro para el casquillo para centrar ZBH

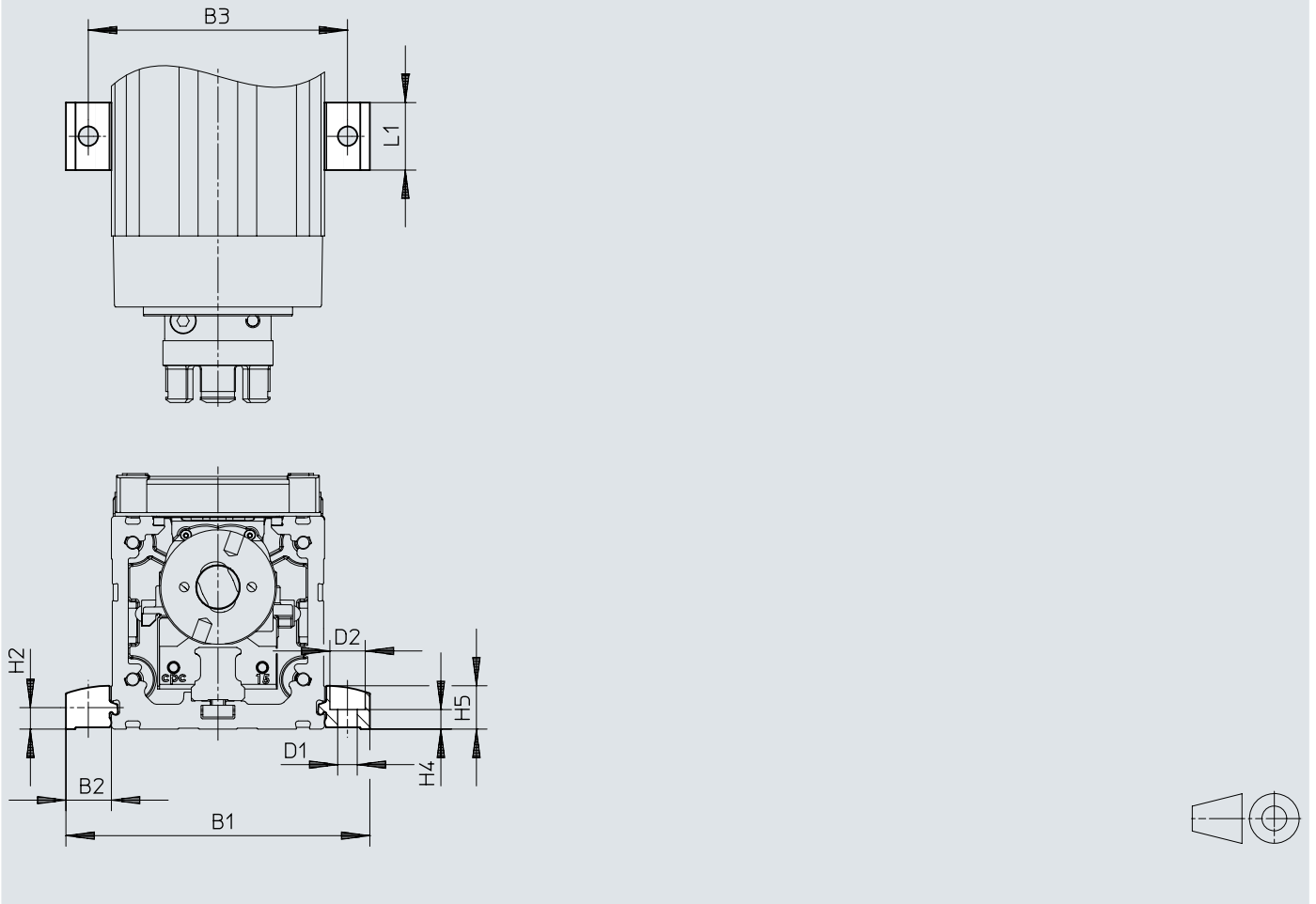
| | B1 | D1 | D2 ∅ H8 | D3 | H1 | H2 |
|---------------|------|----|---------------|----|------|------|
| | ±0,1 | | | | ±0,1 | ±0,1 |
| ELGC-BS-KF-80 | 11 | M4 | 7 | M6 | 78 | 63 |

| | L1 | L2 | L3 | T1 | T2 | T3 | T4 ¹⁾ |
|---------------|-----|------|------|----|----|------|------------------|
| | | ±0,1 | ±0,1 | | | +0,1 | |
| ELGC-BS-KF-80 | 106 | 73 | 36 | 12 | 9 | 1,6 | 11 ... 14 |

1) Profundidad de atornillado recomendada

Dimensiones

Dimensiones – Fijación para perfil EAHF-L2-...-P-S

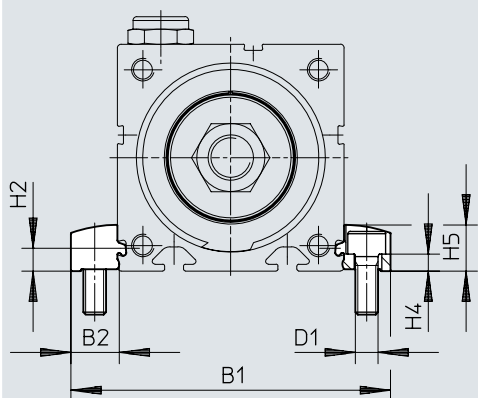
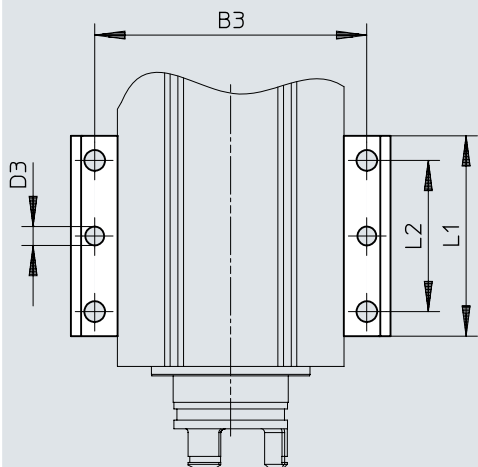
Descargar datos CAD www.festo.com

| | | B1 | B2 | B3 | D1 ∅ H13 | D2 ∅ H13 | H2 | H4 ±0,1 | H5 | L1 |
|----------------|---------------|-------|------|----|----------------|----------------|-----|------------|------|----|
| EAHF-L2-25-P-S | ELGC-BS-KF-32 | 51,4 | 9,7 | 42 | 4,5 | 8 | 4,9 | 4,2 | 9 | 19 |
| EAHF-L2-45-P-S | ELGC-BS-KF-45 | 70,6 | 12,8 | 58 | 5,5 | 10 | 6,1 | 5,5 | 12,2 | 19 |
| EAHF-L2-45-P-S | ELGC-BS-KF-60 | 85,6 | 12,8 | 73 | 5,5 | 10 | 6,1 | 5,5 | 12,2 | 19 |
| EAHF-L2-45-P-S | ELGC-BS-KF-80 | 105,6 | 12,8 | 93 | 5,5 | 10 | 6,1 | 5,5 | 12,2 | 19 |

Dimensiones

Dimensiones – Fijación para perfil EAHF-L2-...-P

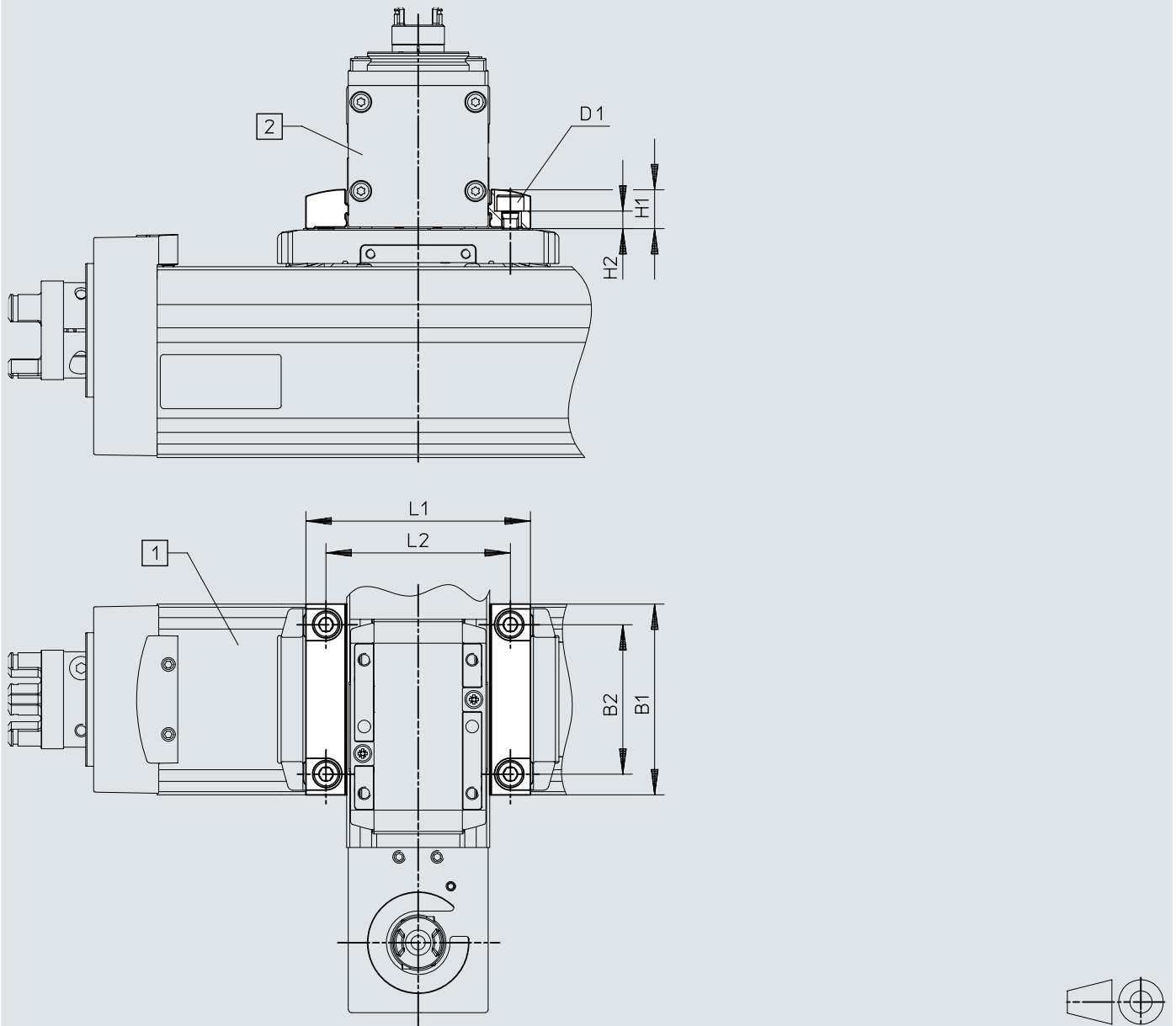
Descargar datos CAD www.festo.com



| | | B1 | B2 | B3 | D1 ∅ H13 | D2 ∅ H13 | D3 ∅ | H2 | H4 ±0,1 | H5 | L1 | L2 |
|--------------|---------------|-------|------|----|----------------|----------------|---------|-----|------------|------|----|----|
| EAHF-L2-25-P | ELGC-BS-KF-32 | 51,4 | 9,7 | 42 | 4,5 | 8 | 4 | 4,9 | 4,2 | 9 | 53 | 40 |
| EAHF-L2-45-P | ELGC-BS-KF-45 | 70,6 | 12,8 | 58 | 5,5 | 10 | 5 | 6,1 | 5,5 | 12,2 | 53 | 40 |
| EAHF-L2-45-P | ELGC-BS-KF-60 | 85,6 | 12,8 | 73 | 5,5 | 10 | 5 | 6,1 | 5,5 | 12,2 | 53 | 40 |
| EAHF-L2-45-P | ELGC-BS-KF-80 | 105,6 | 12,8 | 93 | 5,5 | 10 | 5 | 6,1 | 5,5 | 12,2 | 53 | 40 |

Dimensiones

Dimensiones – Fijación para perfil EAHF-L2-...-P-D...

Descargar datos CAD www.festo.com

[1] Eje básico ELGC/ELGS/ELFC

[2] Eje adicional ELGC/ELGS/ELFC/EGSC

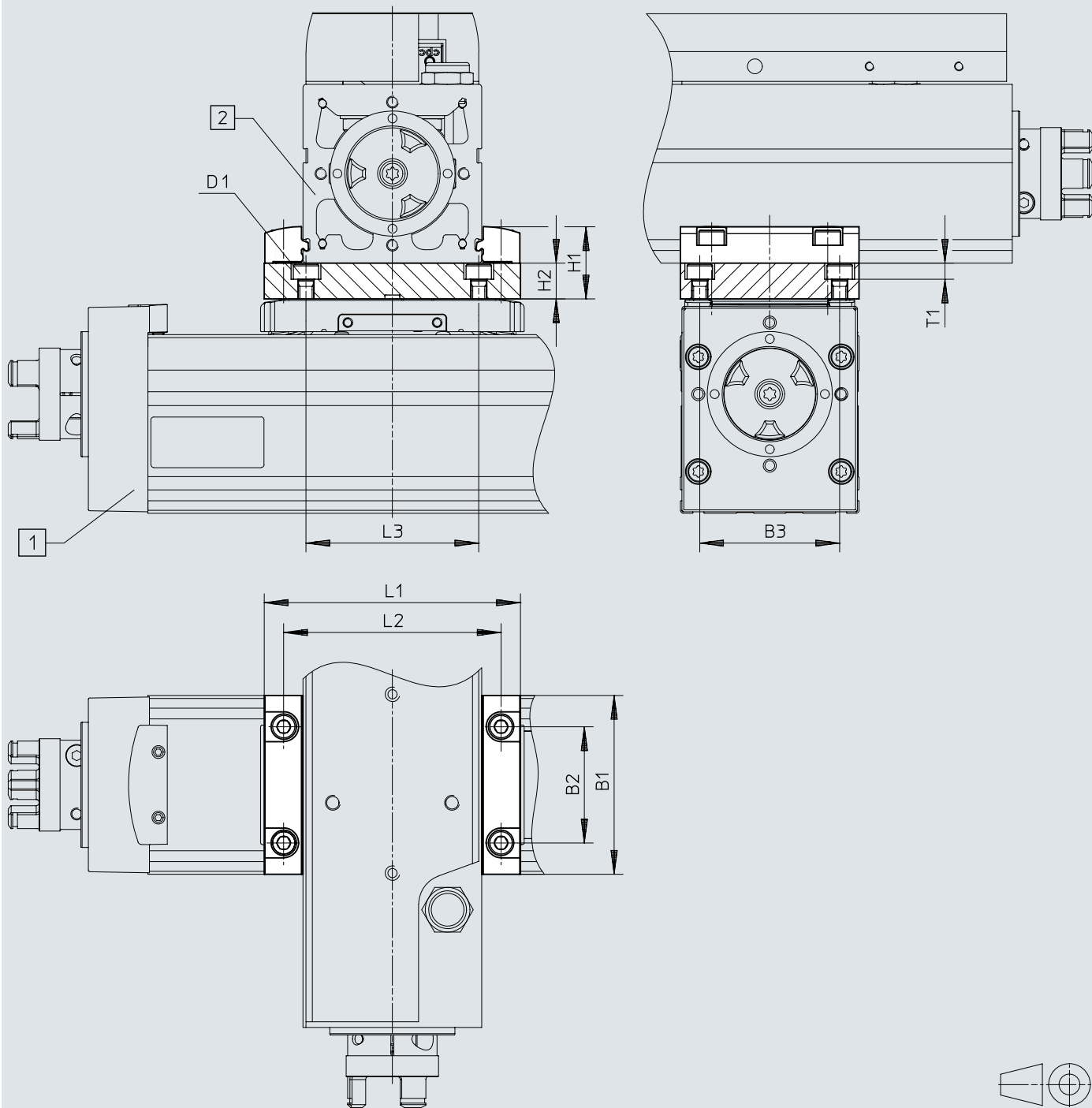
| | 1) | B1 | B2 | D1 | H1 | H2 ±0,1 | L1 | L2 |
|-----------------|-------|----|------|----|------|------------|------|----|
| EAHF-L2-25-P-D1 | 32/25 | 32 | 22,5 | M3 | 9 | 5,1 | 44,4 | 35 |
| EAHF-L2-25-P-D2 | 45/32 | 45 | 34 | M4 | 9 | 3,7 | 51,4 | 42 |
| EAHF-L2-45-P-D3 | 60/45 | 60 | 47 | M5 | 12,2 | 5,5 | 70,6 | 58 |
| EAHF-L2-45-P-D4 | 80/60 | 78 | 63 | M6 | 12,2 | 4,5 | 85,6 | 73 |

1) Eje de base/eje de carrocería

Dimensiones

Dimensiones – Kit adaptador EHAA-D-L2

Descargar datos CAD www.festo.com



- [1] Eje básico ELGC/ELGS/ELFC
- [2] Eje adicional ELGC/ELGS/ELFC/EGSC

Dimensiones

| | 1) | B1 | B3 ±0,05 | D1 | H1 | H2 | L1 | L2 | L3 | T1 |
|--------------------|-------|----|-------------|----|------|----|------|----|----|-----|
| EHAA-D-L2-32-L2-32 | 32/25 | 32 | 22,5 | M3 | 19 | 10 | 44,4 | 35 | 35 | 4,2 |
| EHAA-D-L2-45-L2-45 | 45/32 | 45 | 34 | M4 | 19 | 10 | 51,4 | 42 | 42 | 5,4 |
| EHAA-D-L2-60-L2-60 | 60/45 | 60 | 47 | M5 | 24,2 | 12 | 70,6 | 58 | 58 | 5,4 |
| EHAA-D-L2-80-L2-80 | 80/60 | 78 | 63 | M6 | 24,2 | 12 | 85,6 | 73 | 73 | 6,4 |

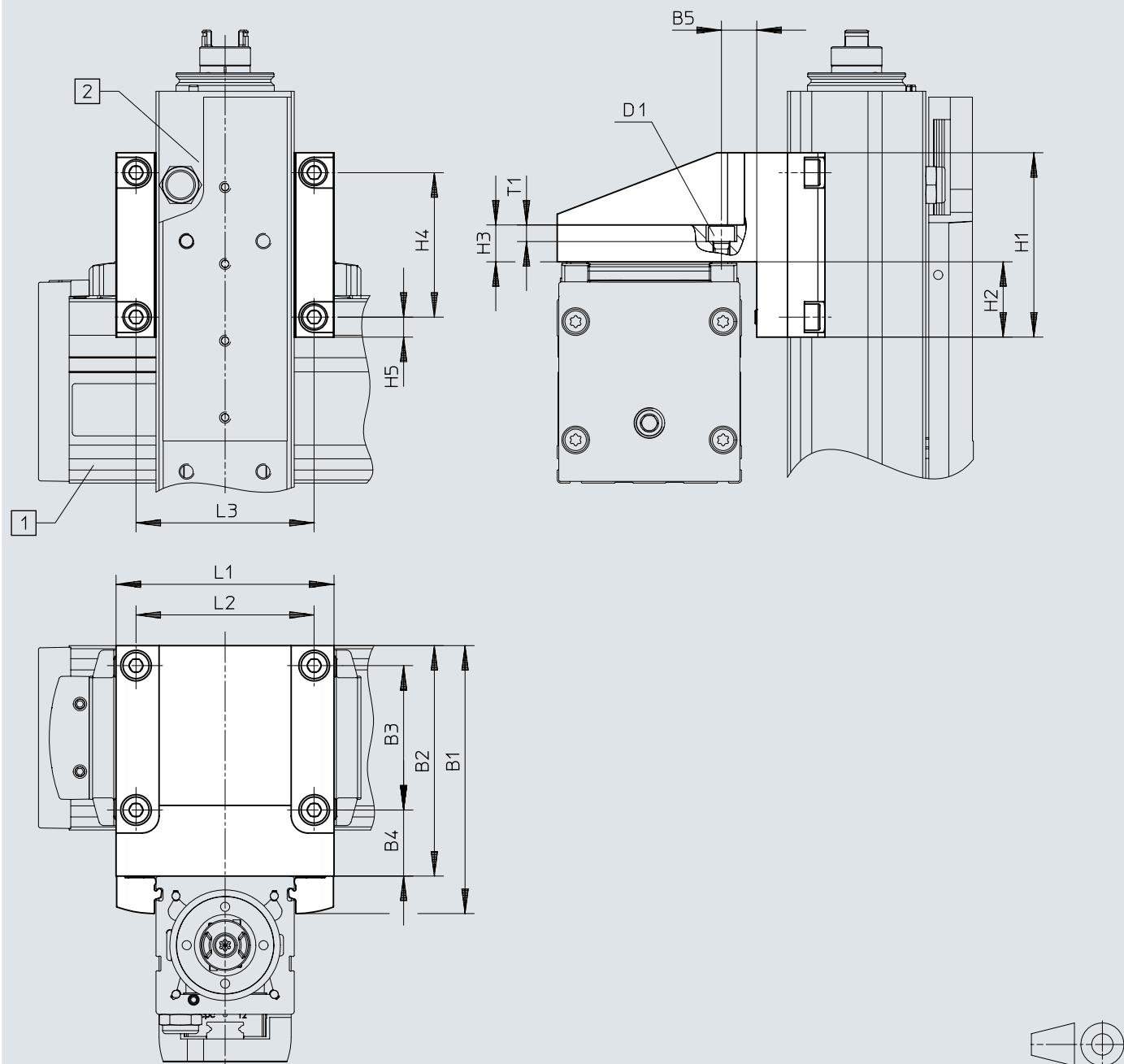
| | 1) | B1 | B2 | B3 ±0,05 | D1 | H1 | H2 | L1 | L2 | L3 | T1 |
|--------------------|-------|----|------|-------------|----|------|----|-----|----|----|-----|
| EHAA-D-L2-32-L2-32 | 32/32 | 32 | 14,5 | 22,5 | M3 | 19 | 10 | 52 | 42 | 35 | 4,2 |
| EHAA-D-L2-45-L2-45 | 45/45 | 45 | 32 | 34 | M4 | 22,2 | 10 | 71 | 58 | 42 | 5,4 |
| EHAA-D-L2-60-L2-60 | 60/60 | 60 | 39 | 47 | M5 | 24,2 | 12 | 86 | 73 | 58 | 5,4 |
| EHAA-D-L2-80-L2-80 | 80/80 | 78 | 63 | 63 | M6 | 24,2 | 12 | 106 | 93 | 73 | 6,4 |

1) Eje de base/eje de carrocería

Dimensiones

Dimensiones – Conjunto de sujeción angular EHAA-D-L2-...-AP

Descargar datos CAD www.festo.com



- [1] Eje básico ELGC/ELGS/ELFC
- [2] Eje adicional ELGC/ELGS/ELFC/EGSC



Dimensiones

| | 1) | B1 | B2 | B3 | B4 | B5 | D1 | H1 | H2 |
|-----------------------|-------|-------|----|------|------|------|----|----|------|
| EHAA-D-L2-32-L2-25-AP | 32/25 | 53 | 44 | 22,5 | 16,8 | 8,8 | M3 | 32 | 11 |
| EHAA-D-L2-45-L2-32-AP | 45/32 | 69 | 60 | 34 | 20,5 | 11,5 | M4 | 45 | 17,5 |
| EHAA-D-L2-60-L2-45-AP | 60/45 | 87,2 | 75 | 47 | 21,5 | 11,5 | M5 | 60 | 24,5 |
| EHAA-D-L2-80-L2-60-AP | 80/60 | 107,2 | 95 | 63 | 23,5 | 13,5 | M6 | 78 | 33,5 |

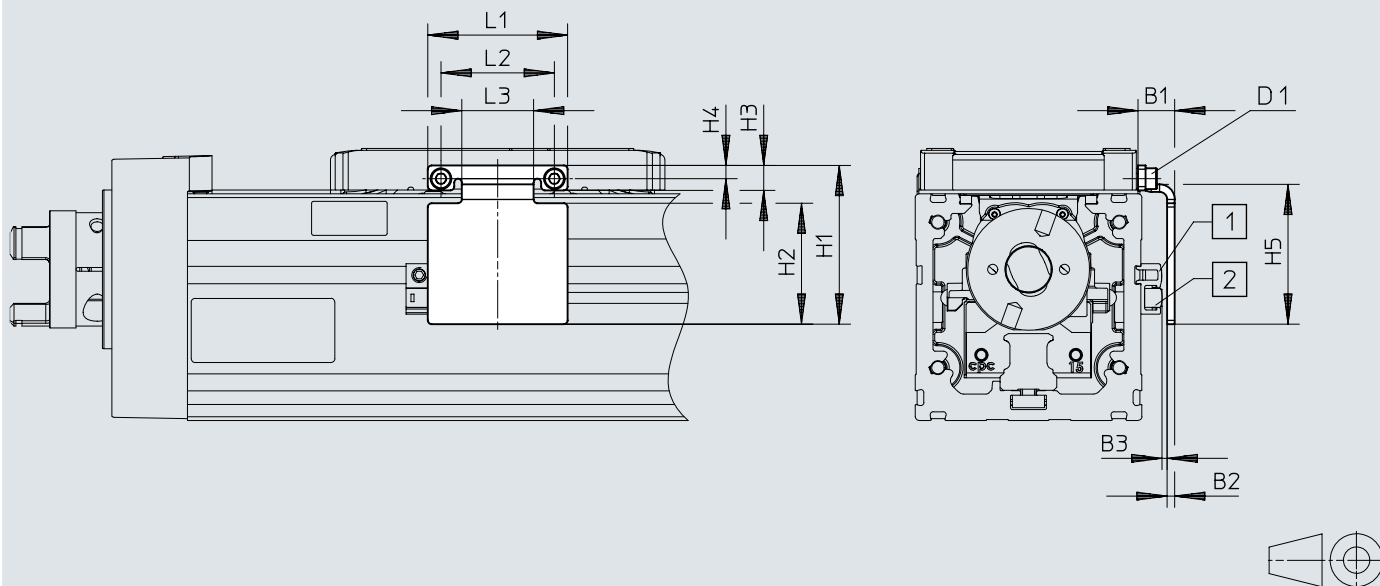
| | 1) | H3 | H4 | H5 | L1 | L2 | L3 | T1 |
|-----------------------|-------|----|------|-----|----|----|----|-----|
| EHAA-D-L2-32-L2-25-AP | 32/25 | 10 | 22,5 | 4,8 | 45 | 35 | 35 | 4,2 |
| EHAA-D-L2-45-L2-32-AP | 45/32 | 10 | 34 | 5,5 | 52 | 42 | 42 | 5,4 |
| EHAA-D-L2-60-L2-45-AP | 60/45 | 12 | 47 | 6,5 | 71 | 58 | 58 | 5,4 |
| EHAA-D-L2-80-L2-60-AP | 80/60 | 12 | 63 | 7,5 | 86 | 73 | 73 | 6,4 |

1) Eje de base/eje de carrocería

Dimensiones

Dimensiones – Leva de conmutación EAPM-L2-SLS

Descargar datos CAD www.festo.com

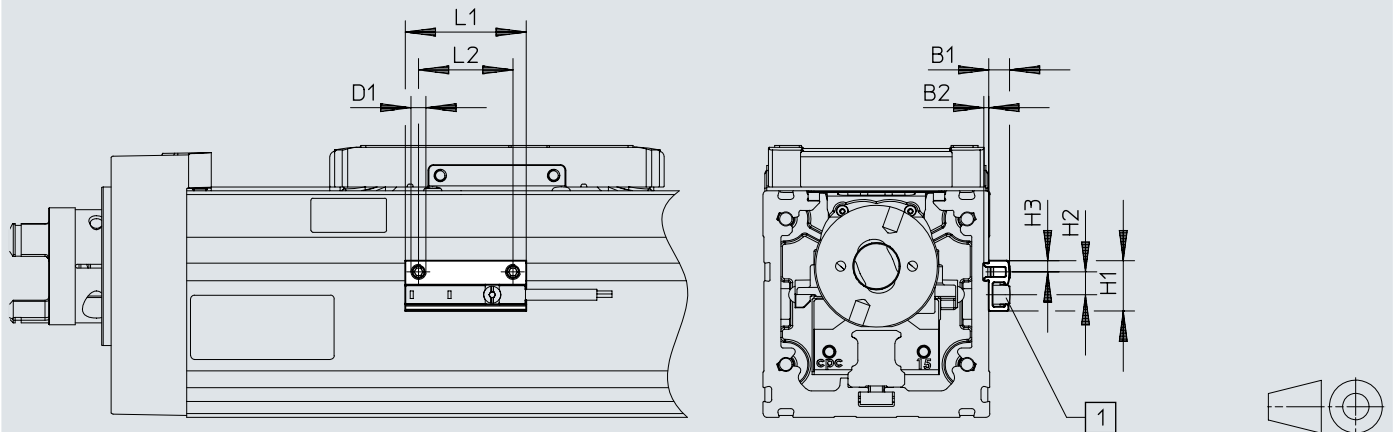


- [1] Soporte para sensor
- [2] Sensor de proximidad

| | B1 | B2 | B3 | D1 | H1 ±0,2 | H2 | H3 | H4 | H5 ±0,2 | L1 ±0,2 | L2 ±0,15 | L3 |
|----------------|-----|----|----------|------|------------|----|-----|-----|------------|------------|-------------|------|
| EAPM-L2-32-SLS | 9,2 | 2 | 1,0±0,31 | M1,6 | 27 | 19 | 4,3 | 2,5 | 24 | 22 | 18 | 10 |
| EAPM-L2-45-SLS | 9,4 | 2 | 1,2±0,31 | M2 | 37 | 28 | 5,5 | 3,3 | 33 | 30 | 24 | 14 |
| EAPM-L2-60-SLS | 9,7 | 2 | 1,3±0,31 | M3 | 37 | 32 | 6,6 | 3,5 | 37 | 42 | 30 | 19 |
| EAPM-L2-80-SLS | 9,5 | 2 | 1,1±0,32 | M4 | 53,5 | 42 | 8,3 | 4,5 | 47 | 44,6 | 36 | 23,4 |

Dimensiones


Dimensiones – Soporte para sensor EAPM-L2-SH

Descargar datos CAD www.festo.com

[1] Sensor de proximidad

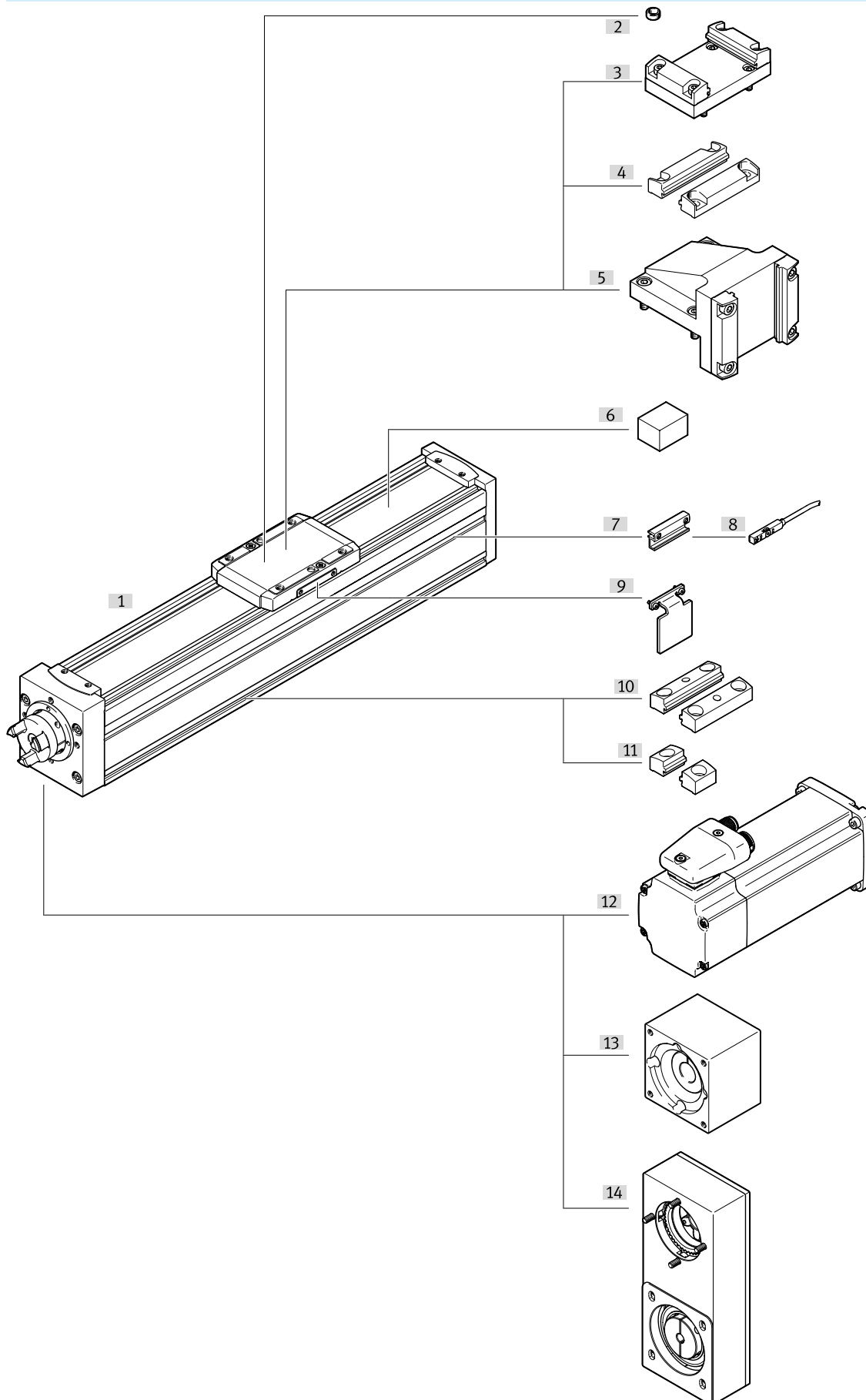
| | B1 | B2 | D1 | H1 | H2 | H3 | L1 | L2 |
|------------|-----|-----|----|------|----|----|----|----|
| EAPM-L2-SH | 5,5 | 1,3 | M4 | 13,4 | 6 | 3 | 32 | 25 |

Referencias de pedido

| con guía de rodamiento de bolas | | | | | |
|--|--------|-----------------|--------------------|------------------------|-----------------------|
| | Tamaño | Paso de husillo | Carrera de trabajo | N.º art. | Tipo |
|  | 32 | 8 mm/rev | 100 mm | 8061477 | ELGC-BS-KF-32-100-8P |
| | | | 200 mm | 8061478 | ELGC-BS-KF-32-200-8P |
| | | | 300 mm | 8061479 | ELGC-BS-KF-32-300-8P |
| | | | 400 mm | 8061480 | ELGC-BS-KF-32-400-8P |
| | | | 500 mm | 8061481 | ELGC-BS-KF-32-500-8P |
| | | | 600 mm | 8061482 | ELGC-BS-KF-32-600-8P |
| | | | 800 mm | 8061483 | ELGC-BS-KF-32-800-8P |
| | 45 | 10 mm/rev | 100 mm | 8061484 | ELGC-BS-KF-45-100-10P |
| | | | 200 mm | 8061485 | ELGC-BS-KF-45-200-10P |
| | | | 300 mm | 8061486 | ELGC-BS-KF-45-300-10P |
| | | | 400 mm | 8061487 | ELGC-BS-KF-45-400-10P |
| | | | 500 mm | 8061488 | ELGC-BS-KF-45-500-10P |
| | | | 600 mm | 8061489 | ELGC-BS-KF-45-600-10P |
| | | | 800 mm | 8061490 | ELGC-BS-KF-45-800-10P |
| | 60 | 12 mm/rev | 100 mm | 8061491 | ELGC-BS-KF-60-100-12P |
| | | | 200 mm | 8061492 | ELGC-BS-KF-60-200-12P |
| | | | 300 mm | 8061493 | ELGC-BS-KF-60-300-12P |
| | | | 400 mm | 8061494 | ELGC-BS-KF-60-400-12P |
| | | | 500 mm | 8061495 | ELGC-BS-KF-60-500-12P |
| | | | 600 mm | 8061496 | ELGC-BS-KF-60-600-12P |
| | | | 800 mm | 8061497 | ELGC-BS-KF-60-800-12P |
| | 80 | 16 mm/rev | 100 mm | 8061498 | ELGC-BS-KF-80-100-16P |
| | | | 200 mm | 8061499 | ELGC-BS-KF-80-200-16P |
| | | | 300 mm | 8061500 | ELGC-BS-KF-80-300-16P |
| | | | 400 mm | 8061501 | ELGC-BS-KF-80-400-16P |
| | | | 500 mm | 8061502 | ELGC-BS-KF-80-500-16P |
| | | | 600 mm | 8061503 | ELGC-BS-KF-80-600-16P |
| | | | 800 mm | 8061504 | ELGC-BS-KF-80-800-16P |
| 1.000 mm | | | 8061505 | ELGC-BS-KF-80-1000-16P | |

Cuadro general de periféricos

Cuadro general de periféricos

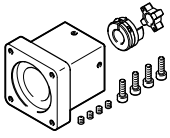


Cuadro general de periféricos

| Accesorios | | → Link |
|---|--|-------------------------|
| Tipo/código del pedido | Descripción | |
| [1] Eje de accionamiento por husillo ELGC-BS-KF | Actuador eléctrico | elgc-bs |
| [2] Casquillo para centrar ZBS | Para centrar las cargas y las piezas de montaje en el carro | 32 |
| [2] Casquillo para centrar ZBH | Para centrar las cargas y las piezas de montaje en el carro | 32 |
| [3] Kit adaptador EHAA-D-L2 | - Para montaje en eje/eje con placa adaptadora - Opción de montaje: eje base con eje de carrocería del mismo tamaño o del siguiente más pequeño - Durante el montaje del motor con conjuntos paralelos, pueden producirse interferencias en los contornos. En este caso, la placa adaptadora es necesaria para compensar la altura | 31 |
| [4] Fijación para perfil EAHF-L2-...-P-D | - Para montaje en eje/eje sin placa adaptadora - Opción de montaje: eje base con el siguiente eje de carrocería más pequeño | 31 |
| [5] Conjunto de sujeción angular EHAA-D-L2-...-AP | Para el montaje de ejes verticales (ejes de carrocería) del siguiente tamaño más pequeño en ejes base con posición de montaje "Carro arriba" | 32 |
| [6] Elemento de fijación EADT-S-L5 | Herramienta para volver a tensar la cinta de recubrimiento | 33 |
| [7] Soporte para sensor EAPM-L2-SH | Para la fijación de los sensores de proximidad al eje; los sensores de proximidad solo pueden fijarse con el soporte para sensor | 32 |
| [8] Sensor de proximidad SIES-8 | Sensores de proximidad inductivos, para ranura en T 27 | 33 |
| [8] Sensor de proximidad SMT-8 | Sensor de proximidad magnético, para ranura en T | 33 |
| [9] Leva de conmutación EAPM-L2-...-SLS | Para la detección de la posición del carro en combinación con sensores de proximidad inductivos SIES | 32 |
| [10] Fijación para perfil EAHF-L2-...-P | Para fijar el eje, lateralmente en el perfil. A través del orificio del centro, la fijación del perfil puede realizarse en la superficie de montaje. | 31 |
| [11] Fijación para perfil EAHF-L2-...-P-S | Para la fijación del eje, lateralmente en el perfil | 31 |
| [12] Motor EMMT-ST | Motores y kits especialmente adaptados al eje Información detallada: www.festo.com/catalogue/eamm Herramienta de ingeniería: www.festo.com/x/electric-motion-sizing | emmt-st |
| [12] Motor EMMT-AS | Motores y conjuntos especialmente adaptados al eje Información detallada en www.festo.com/catalogue/eamm Herramienta de ingeniería: www.festo.com/x/electric-motion-sizing | emmt-as |
| [13] Conjunto de sujeción axial EAMM-A | Para el montaje axial del motor Información más detallada → www.festo.com/x/electric-motion-sizing | eamm-a |
| [14] Conjunto paralelo EAMM-U | Para el montaje en paralelo del motor | eamm-u |

Accesorios

Combinaciones admisibles de eje/motor para conjuntos de sujeción axial y conjuntos paralelos



En los siguientes enlaces encontrará toda la información sobre:

- Combinaciones de eje/motor
- Motores ajenos permitidos
- Especificaciones técnicas
- Dimensiones

Para conjuntos de sujeción axial → Internet: www.festo.com/catalogue/eamm-a

Para conjuntos paralelos → Internet: www.festo.com/catalogue/eamm-u

Fijación para perfil EAHF-L2-...-P-S

| | Descripción | Idoneidad para la producción de baterías de iones de litio | Material de la placa | Peso del producto | N.º art. | Tipo |
|--|------------------------|--|--|-------------------|----------|----------------|
| | para tamaño 32 | F1a | Aleación forjada de aluminio anodizado | 4 g | 5183153 | EAHF-L2-25-P-S |
| | para tamaño 45, 60, 80 | | | 6 g | 5184133 | EAHF-L2-45-P-S |

Fijación para perfil EAHF-L2-...-P

| | Descripción | Idoneidad para la producción de baterías de iones de litio | Material de la placa | Peso del producto | N.º art. | Tipo |
|--|------------------------|--|--|-------------------|----------|--------------|
| | para tamaño 32 | F1a | Aleación forjada de aluminio anodizado | 19 g | 4835684 | EAHF-L2-25-P |
| | para tamaño 45, 60, 80 | | | 35 g | 4835728 | EAHF-L2-45-P |

Fijación para perfil EAHF-L2-...-P-D...

| | Descripción ¹⁾ | Idoneidad para la producción de baterías de iones de litio | Material de la placa | Peso del producto | N.º art. | Tipo |
|--|---------------------------|--|--|-------------------|----------|-----------------|
| | para tamaño 32/25 | F1a | Aleación forjada de aluminio anodizado | 16 g | 4759753 | EAHF-L2-25-P-D1 |
| | para tamaño 45/32 | | | 24 g | 4759748 | EAHF-L2-25-P-D2 |
| | para tamaño 60/45 | | | 56 g | 4759739 | EAHF-L2-45-P-D3 |
| | para tamaño 80/60 | | | 77 g | 4759726 | EAHF-L2-45-P-D4 |

1) Eje de base/eje de carrocería

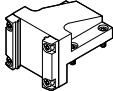
Kit adaptador EHAA-D-L2

| | Descripción ¹⁾ | Peso del producto | N.º art. | Tipo |
|--|---------------------------|-------------------|----------|--------------------|
| | para tamaño 32/25 | 60 g | 8066713 | EHAA-D-L2-32-L2-32 |
| | para tamaño 45/32 | 136 g | 8066714 | EHAA-D-L2-45-L2-45 |
| | para tamaño 60/45 | 205 g | 8066715 | EHAA-D-L2-60-L2-60 |
| | para tamaño 80/60 | 315 g | 8066716 | EHAA-D-L2-80-L2-80 |

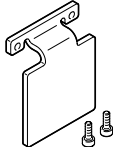
1) Eje de base/eje de carrocería

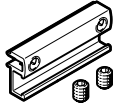
Durante el montaje del motor con conjuntos paralelos, pueden producirse interferencias en los contornos. En este caso, la placa adaptadora es necesaria para compensar la altura.


Accesorios


| Conjunto de sujeción angular EHAA-D-L2-...-AP | | | | | |
|--|---------------------------|-------------------|----------|-----------------------|--|
| | Descripción ¹⁾ | Peso del producto | N.º art. | Tipo | |
|  | para tamaño 32/25 | 107 g | 8066717 | EHAA-D-L2-32-L2-25-AP | |
| | para tamaño 45/32 | 222 g | 8066718 | EHAA-D-L2-45-L2-32-AP | |
| | para tamaño 60/45 | 433 g | 8066719 | EHAA-D-L2-60-L2-45-AP | |
| | para tamaño 80/60 | 768 g | 8066720 | EHAA-D-L2-80-L2-60-AP | |


1) Eje de base/eje de carrocería


| Leva de conmutación EAPM-L2-SLS | | | | | |
|--|----------------|--|-------------------|----------|----------------|
| | Descripción | Idoneidad para la producción de baterías de iones de litio | Peso del producto | N.º art. | Tipo |
|  | para tamaño 32 | F1a | 10 g | 8067259 | EAPM-L2-32-SLS |
| | para tamaño 45 | | 18 g | 8067260 | EAPM-L2-45-SLS |
| | para tamaño 60 | | 27 g | 8067261 | EAPM-L2-60-SLS |
| | para tamaño 80 | | 42 g | 8067262 | EAPM-L2-80-SLS |

| Soporte para sensor EAPM-L2-SH | | | | | | |
|--|----------------------------|--|--|-------------------|-----------|------------|
| | Descripción | Idoneidad para la producción de baterías de iones de litio | Material del soporte para sensor | Peso del producto | N.º art. | Tipo |
|  | para tamaño 32, 45, 60, 80 | F1a | Aleación forjada de aluminio anodizado | 4 g | ★ 4759852 | EAPM-L2-SH |

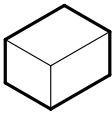
| Pasador de centrado ZBS-2 | | | | | | |
|--|----------------|------------------------|---------------------|-------------------|----------|-------|
| | Descripción | Material del casquillo | Tamaño del depósito | Peso del producto | N.º art. | Tipo |
|  | para tamaño 32 | Acero | 10 | 1 g | 525273 | ZBS-2 |


| Pasador de centrado ZBS-4 | | | | | | |
|--|----------------|-----------------------------------|---------------------|-------------------|----------|-------|
| | Descripción | Material del casquillo | Tamaño del depósito | Peso del producto | N.º art. | Tipo |
|  | para tamaño 45 | Acero inoxidable de alta aleación | 10 | 0,5 g | 562959 | ZBS-4 |


| Casquillo para centrar ZBH-5 | | | | | | |
|--|----------------|------------------------|---------------------|-------------------|----------|---------|
| | Descripción | Material del casquillo | Tamaño del depósito | Peso del producto | N.º art. | Tipo |
|  | para tamaño 60 | Acero | 10 | 1 g | 8146543 | ZBH-5-B |

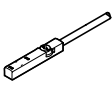
| Casquillo para centrar ZBH-7 | | | | | | |
|--|----------------|------------------------|---------------------|-------------------|----------|---------|
| | Descripción | Material del casquillo | Tamaño del depósito | Peso del producto | N.º art. | Tipo |
|  | para tamaño 80 | Acero | 10 | 1 g | 8146544 | ZBH-7-B |

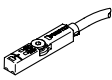
Accesorios

| Elemento de fijación EADT | | | | | | |
|---|--|---------------------------------------|-------------------|----------|--------------|--|
| | Descripción | Material de los elementos de fijación | Peso del producto | N.º art. | Tipo | |
|  | para tamaño 32, 45, Herramienta para volver a tensar la cinta de recubrimiento | NBR | 12 g | 8065818 | EADT-S-L5-32 | |
| | para tamaño 60, Herramienta para volver a tensar la cinta de recubrimiento | | 50 g | 8058451 | EADT-S-L5-70 | |



| Racor rápido roscado QSM-M5 | | | | | | |
|---|---|---------------------|---------------------|-------------------|----------|--------------|
| | Descripción | Material del cuerpo | Tamaño del depósito | Peso del producto | N.º art. | Tipo |
|  | para tamaño 32, para la conexión de aire de barrido | Latón niquelado | 10 | 3 g | 133004 | QSM-M5-4-I-R |
| | | | | 3,2 g | 133003 | QSM-M5-3-I-R |


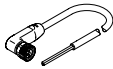
| Racor rápido roscado QSM-G1/8 | | | | | | |
|--|---|---------------------|---------------------|-------------------|----------|--------------|
| | Descripción | Material del cuerpo | Tamaño del depósito | Peso del producto | N.º art. | Tipo |
|  | para tamaño 45, 60, 80, para la conexión de aire de barrido | Latón niquelado | 10 | 8,9 g | ★ 186266 | QSM-G1/8-4-I |
| | | | | 9,5 g | ★ 186267 | QSM-G1/8-6-I |

| Sensor de proximidad SIES para ranura en T, inductivo Enlace sies-8m | | | | | | |
|---|--------|---|-------------------------------------|--------------------|---------------------|--------------------------|
| | Salida | Conexión eléctrica 1, técnica de conexión | Función del elemento de conmutación | Longitud del cable | N.º art. | Tipo |
|  | NPN | M8x1, codificación A según EN 61076-2-104 | Normalmente cerrado | 0,3 m | ★ 551402 | SIES-8M-NO-24V-K-0,3-M8D |
| | | | Normalmente abierto | | 551397 | SIES-8M-NS-24V-K-0,3-M8D |
| | | Extremo abierto | Normalmente cerrado | 7,5 m | ★ 551401 | SIES-8M-NO-24V-K-7,5-OE |
| | | | | | Normalmente abierto | 551396 |
| | PNP | M8x1, codificación A según EN 61076-2-104 | Normalmente cerrado | 0,3 m | ★ 551392 | SIES-8M-PO-24V-K-0,3-M8D |
| | | | | | Normalmente abierto | 551387 |
| | | Extremo abierto | Normalmente cerrado | 7,5 m | ★ 551391 | SIES-8M-PO-24V-K-7,5-OE |
| | | | | | Normalmente abierto | 551386 |

| Sensor de proximidad SMT para ranura en T, magnetorresistivo Enlace smt-8m | | | | | | |
|---|--|---|---------------------------------|--------------------|----------|---------------------------|
| | Tipo de fijación | Salida de conmutación | Conexión eléctrica | Longitud del cable | N.º art. | Tipo |
|  | Atornillado, Se puede insertar en la ranura desde arriba | Contacto normalmente cerrado trifilar PNP | Extremo abierto | 7,5 m | ★ 574340 | SMT-8M-A-PO-24V-E-7,5-OE |
| | | | | 2,5 m | ★ 574335 | SMT-8M-A-PS-24V-E-2,5-OE |
| | | Normalmente abierto trifilar PNP | Conector M8, con codificación A | 0,3 m | ★ 574334 | SMT-8M-A-PS-24V-E-0,3-M8D |

Accesorios

| Cable de conexión NEBA, recto | | | | | | Enlace  |
|--|---|---|---|--------------------|-----------|--|
| | Conexión eléctrica 1, técnica de conexión | Conexión eléctrica 2, técnica de conexión | Conexión eléctrica 2, cantidad de contactos/hilos | Longitud del cable | N.º art. | Tipo |
|  | M8x1, codificación A según EN 61076-2-104 | Extremo abierto | 3 | 2,5 m | ★ 8078223 | NEBA-M8G3-U-2.5-N-LE3 |
| | | | | 5 m | ★ 8078224 | NEBA-M8G3-U-5-N-LE3 |

| Cable de conexión NEBA, acodado | | | | | | Enlace  |
|--|---|---|---|--------------------|-----------|--|
| | Conexión eléctrica 1, técnica de conexión | Conexión eléctrica 2, técnica de conexión | Conexión eléctrica 2, cantidad de contactos/hilos | Longitud del cable | N.º art. | Tipo |
|  | M8x1, codificación A según EN 61076-2-104 | Extremo abierto | 3 | 2,5 m | ★ 8078230 | NEBA-M8W3-U-2.5-N-LE3 |
| | | | | 5 m | ★ 8078231 | NEBA-M8W3-U-5-N-LE3 |